



**HAL**  
open science

## Impact de l'information visuelle pour la Recherche d'Images par le contenu et le contexte

Christophe Moulin, Christine Largeron, Mathias Géry

► **To cite this version:**

Christophe Moulin, Christine Largeron, Mathias Géry. Impact de l'information visuelle pour la Recherche d'Images par le contenu et le contexte. Conférence en Recherche d'Informations et Applications, Mar 2010, Sousse, Tunisia. pp.179-193. hal-00526635

**HAL Id: hal-00526635**

**<https://hal.science/hal-00526635>**

Submitted on 15 Oct 2010

**HAL** is a multi-disciplinary open access archive for the deposit and dissemination of scientific research documents, whether they are published or not. The documents may come from teaching and research institutions in France or abroad, or from public or private research centers.

L'archive ouverte pluridisciplinaire **HAL**, est destinée au dépôt et à la diffusion de documents scientifiques de niveau recherche, publiés ou non, émanant des établissements d'enseignement et de recherche français ou étrangers, des laboratoires publics ou privés.

---

# Impact de l'information visuelle pour la Recherche d'Images par le contenu et le contexte

**Christophe Moulin, Christine Largeron, Mathias Géry**

*Université de Lyon, F-42023, Saint-Étienne, France  
CNRS, UMR 5516, Laboratoire Hubert Curien, F-42000, Saint-Étienne, France  
Université de Saint-Étienne, Jean-Monnet, F-42000, Saint-Étienne, France  
{ Christophe.Moulin, Christine.Largeron, Mathias.Gery }@univ-st-etienne.fr*

---

*RÉSUMÉ. Les documents multimédia composés de texte et d'images sont de plus en plus présents grâce à Internet et à l'augmentation des capacités de stockage. Cet article présente un modèle de représentation de documents multimédia qui combine l'information textuelle et l'information visuelle. En utilisant une approche par sac de mot, un document composé de texte et d'image peut être décrit par des vecteurs correspondant à chaque type d'information. Pour une requête multimédia donnée, une liste de documents pertinents est retournée en combinant linéairement les résultats obtenus séparément sur chaque modalité. Le but de cet article est d'étudier l'impact, sur les résultats, du poids attribué à l'information visuelle par rapport à l'information textuelle. Des expérimentations, réalisées sur la collection multimédia ImageCLEF extraite de l'encyclopédie Wikipedia, montrent que les résultats peuvent être améliorés après une première étape d'apprentissage de ce poids.*

*ABSTRACT. Multimedia documents are increasingly used which involve to develop model to that kind of data. In this paper we present a multimedia model which combines textual and visual information. Using a bag of words approach, we can represent a textual and visual document with a vector for each modality. Given a multimedia query, our model lets us linearly combine scores obtained for each modality and return a list of relevant retrieved documents. This article aims at studying the influence of the weight given to the visual information according to the textual one. Experiments on the multimedia ImageCLEF collection extracted from Wikipedia show that results can be improved by learning this weight parameter.*

*MOTS-CLÉS: Recherche d'Images, Modèle de représentation, Mots visuels, Apprentissage*

*KEYWORDS: Images Retrieval, Document modelling, Visual words, Machine Learning*

---

## 1. Introduction

Avec l'augmentation croissante des capacités de production, de stockage et de diffusion des documents multimédia, l'accès à l'information utile devient de plus en plus difficile. Notamment, dans le contexte du Web, l'exploitation des documents pose un vrai challenge de recherche d'information (RI) multimodale, et il devient essentiel de développer des outils d'organisation et de recherche de documents multimédia.

La plupart des systèmes de recherche d'information visant à traiter des documents multimédia développés actuellement peuvent être répartis en différentes catégories, selon qu'ils exploitent l'information textuelle, l'information visuelle ou qu'ils combinent les deux.

Dans la première catégorie, les images sont indexées uniquement à partir du texte associé à l'image (le nom du fichier, la légende, le texte entourant l'image dans le document, etc.), sans tenir compte des caractéristiques intrinsèques de l'image. On parle alors de Recherche Image basée sur le texte (*Text based Image Retrieval*). C'est le cas par exemple des outils de recherche d'images proposés par les moteurs de recherche généralistes du Web, dont les résultats ne sont pas toujours concluants, ou encore de certains moteurs du Web spécialisés dans la recherche d'images comme Picsearch<sup>1</sup>.

Dans la seconde catégorie, seul le contenu visuel de l'image, défini par des paramètres locaux de couleur, de texture ou de forme, est utilisé. Il est alors question de recherche d'images basée sur le contenu (*CBIR : Content Based Image Retrieval*) (Smeulders *et al.*, 2000 ; Lew *et al.*, 2006). Par exemple, QBIC, le système précurseur d'IBM (Flickner *et al.*, 1995), propose à l'utilisateur de retrouver des images à partir d'une requête exprimée à l'aide de ces mêmes paramètres de couleur, de texture, ou de forme. Les systèmes donnant les meilleurs résultats sont ceux dans lesquels la recherche s'effectue à l'aide d'une image exemple fournie par l'utilisateur ("Search by image", cf. par exemple QBIC ou plus récemment le moteur TinEye<sup>2</sup>) ou encore à l'aide d'une image construite par l'utilisateur. Ainsi, certains systèmes proposent à l'utilisateur de dessiner un croquis de l'image recherchée ("Search by sketch", cf. par exemple les moteurs Gazopa<sup>3</sup> et Retrievr<sup>4</sup>), d'autres enfin proposent à l'utilisateur de disposer sur un canevas vierge des icônes correspondant à des concepts préalablement identifiés dans la base d'images. Mais ces systèmes ont un inconvénient, car les utilisateurs ne disposent pas toujours d'une image de référence, et les langages de requêtes basés sur les caractéristiques visuelles ne sont pas toujours très intuitifs, ce qui rend leur utilisation difficile.

Enfin, la dernière catégorie regroupe les systèmes visant à traiter simultanément les descripteurs visuels et textuels. On peut citer le système PicHunter (Cox *et al.*, 2000) qui vise à prédire l'objectif des utilisateurs en fonction de leurs actions, le système

1. Picsearch : <http://www.picsearch.com>

2. TinEye : <http://www.tineye.com/>

3. Gazopa : <http://www.gazopa.com/>

4. Retrievr : <http://labs.systemone.at/retrievr/>

Picitup<sup>5</sup> qui propose de définir une requête textuelle et de filtrer ensuite les résultats à l'aide d'éléments visuels (une image, une catégorie, une couleur, une forme, etc.), ou encore le système ImageRover (Sclaroff *et al.*, 1997 ; La Cascia *et al.*, 1998).

Les premiers travaux visant à combiner information visuelle et information textuelle se sont avérés prometteurs (Barnard *et al.*, 2003 ; Datta *et al.*, 2008). Cependant, comme les caractéristiques visuelles restent de bas niveau, elles ne sont pas adaptées à la recherche d'image grand public, dans la mesure où l'utilisateur rencontre souvent des difficultés pour exprimer sous cette forme son besoin d'information. Il préfère ainsi formuler ses requêtes par quelques mots clés. Pour développer des systèmes de recherche exploitant texte et image, il importe donc de réduire le fossé sémantique qui existe entre les objets et leurs représentation visuelle (Smeulders *et al.*, 2000). Une direction de recherche, dans ce sens, consiste en l'emploi d'ontologies visuelles (Snoek *et al.*, 2006) ; une autre proposée récemment par Tollari vise à associer des mots clés et des informations visuelles (Tollari *et al.*, 2007 ; Tollari *et al.*, 2009).

Les conclusions tirées de ces travaux antérieurs nous ont conduit, dans un premier temps, à proposer un système qui, à partir d'un premier ensemble de documents retournés en réponse à une requête textuelle, permet d'enrichir cette dernière en combinant information textuelle et visuelle, de façon à aboutir à un second ensemble de résultats (Moulin *et al.*, 2008). Les termes visuels peuvent être ajoutés aux termes textuels de la requête initiale de façon entièrement automatique ou semi automatique en demandant un retour à l'utilisateur sur les premiers résultats produits. Ces premières expériences ont confirmé l'intérêt de combiner information visuelle et textuelle. Le but du travail présenté dans cet article est d'approfondir la question du poids à accorder à l'information visuelle par rapport à celui accordé à l'information textuelle. Nous proposons dans ce travail d'apprendre automatiquement ce poids à partir d'une collection d'apprentissage. Le second objectif de cet article est de vérifier dans quelle mesure le poids optimal accordé à chaque type d'information varie selon le type de requête, et dans quelle mesure le choix d'un poids spécifique à chaque requête permet d'améliorer de façon significative les résultats. En effet, comme l'a noté Tollari, pour des concepts tels que "animal" ou "véhicule", l'information visuelle est moins importante car sous ces concepts peuvent se cacher des éléments visuellement très différents.

Après avoir décrit dans la section suivante le modèle de document combinant texte et image que nous proposons, nous présentons les expérimentations réalisées dans le cadre d'une tâche de RI sur la collection ImageCLEF dans la section 3, puis les résultats de ces expérimentations dans la section 4. Les conclusions et perspectives de ce travail<sup>6</sup> font l'objet de la dernière section.

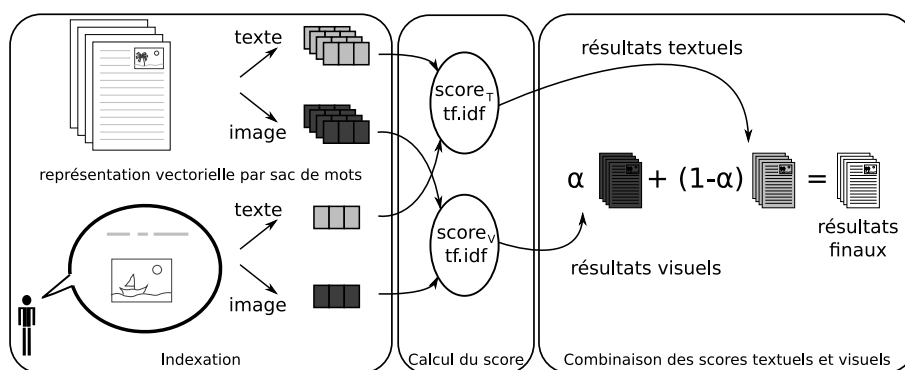
5. <http://www.picitup.com/picitup>

6. Ce travail a été réalisé dans le cadre du projet Web Intelligence de la région Rhône-Alpes (<http://www.web-intelligence-rhone-alpes.org>).

## 2. Modèle de Recherche d'Information multimodale

### 2.1. Architecture globale

Le modèle de recherche d'information multimodale que nous proposons comporte plusieurs modules, comme l'indique la figure 1 qui décrit son architecture globale. Le premier est consacré à l'indexation des documents de la collection  $D$  et des requêtes, composés à la fois d'une partie textuelle et d'images. Le contenu textuel, comme le contenu visuel de chaque document est décrit sous forme de sacs de mots. Le second module, vise à déterminer, pour une requête donnée, un score par document et par type de contenu. Ce score sera d'autant plus élevé que le contenu du document, relativement au type d'information considéré (visuel ou textuel), correspondra à celui de la requête. Enfin, le dernier module vise à combiner linéairement les scores obtenus pour chaque type d'information de façon à déterminer les documents répondant le mieux à la requête.

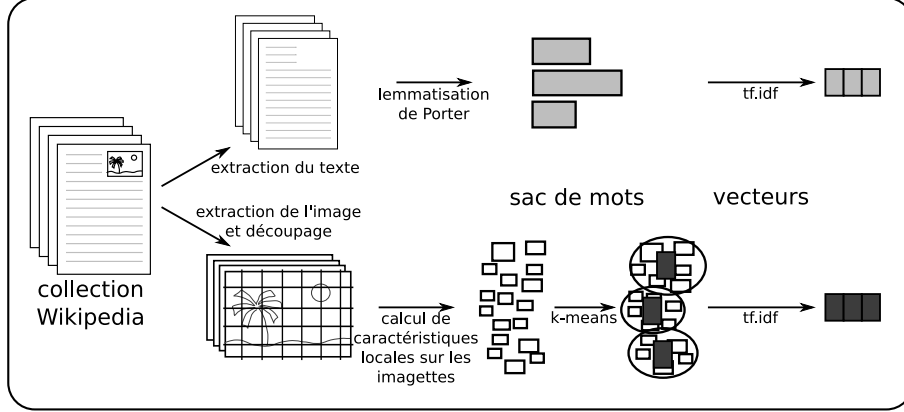


**Figure 1.** Architecture globale du modèle de RI multimodale

### 2.2. Modèle de représentation textuelle

Étant donnée une collection de documents  $D$  et  $T = \{t_1, \dots, t_j, \dots, t_{|T|}\}$  l'ensemble des termes/mots présents dans les documents de  $D$ , chaque document  $d_i$  est représenté comme un vecteur de poids  $\vec{d}_i = (w_{i,1}, \dots, w_{i,j}, \dots, w_{i,|T|})$  où  $w_{i,j}$  est le poids du terme  $t_j$  dans le document  $d_i$ . Ce poids est calculé à l'aide d'une formule de type *tf.idf* (cf. figure 2). La fréquence du terme (term frequency)  $tf_{i,j}$  met en valeur la fréquence relative du terme  $t_j$  dans le document  $d_i$ . Il s'agira, par exemple, de la variation de la formule BM25 (Robertson *et al.*, 1994) implantée dans le système Lemur (Zhai, 2001) :

$$tf_{i,j} = \frac{k_1 \times t_{i,j}}{t_{i,j} + k_1 \times (1 - b + b * \frac{|d_i|}{d_{avg}})}$$



**Figure 2.** Indexation basée sur des vecteurs de termes textuels et visuels.

où  $b$  est une constante,  $t_{i,j}$  est l'occurrence du terme  $t_j$  dans le document  $d_i$ ,  $|d_i|$  est la taille du document et  $d_{avg}$  est la taille moyenne des documents de  $D$ . La taille d'un document correspond au nombre de termes dans ce document.

La fréquence inverse de document (inverse document frequency)  $idf_j$  mesure l'importance du terme  $t_j$  sur l'ensemble de la collection  $D$ .

$$idf_j = \log \frac{|D| - df_j + 0,5}{df_j + 0,5}$$

où  $|D|$  est le nombre de documents dans la collection et  $df_j$  est le nombre de documents de  $D$  dans lequel le terme  $t_j$  apparaît au moins une fois.

Le poids  $w_{i,j}$  est obtenu en multipliant  $tf_{i,j}$  et  $idf_j$ . Ce poids aura une valeur d'autant plus élevée que le  $t_j$  apparaît fréquemment dans le  $d_i$ , mais peu dans les autres documents de  $D$ .

Soit  $q_k$  une requête composée de quelques termes. Si l'on considère cette dernière comme un court document,  $q_k$  peut alors être représentée sous la forme d'un vecteur de poids. Afin de trier les documents par ordre de pertinence pour une requête donnée, un score est calculé par :

$$score_T(q_k, d_i) = \sum_{t_j \in q_k} tf_{i,j} idf_j tf_{k,j} idf_j$$

### 2.3. Modèle de représentation visuelle

Le contenu visuel d'un document est représenté, comme son contenu textuel, sous forme vectorielle. Ceci nécessite la définition d'un vocabulaire visuel  $V =$

$\{v_1, \dots, v_j, \dots, v_{|V|}\}$  utilisé, comme pour la partie textuelle, pour associer à chaque image un vecteur de poids comportant autant de composantes qu'il y a de mots visuels dans  $V$ .

La construction du vocabulaire  $V$ , réalisée en utilisant l'approche par sac de mots (Csurka *et al.*, 2004), s'effectue en deux étapes (cf. figure 2). Dans la première, chaque image de la collection  $D$  est découpée en imagerie, décrites à l'aide d'un descripteur visuel. Le découpage utilisé, est un découpage régulier en  $16 \times 16$  imagerie. Un minimum de  $8 \times 8$  pixels est imposé pour définir une imagerie. Le descripteur retenu pour décrire chaque imagerie est le descripteur SIFT (Lowe, 2004). D'autres descripteurs ont été utilisés pour décrire les images (Moulin *et al.*, 2008), mais seul celui qui donne les résultats les plus intéressants est présenté dans cet article. L'étape suivante consiste à classer automatiquement, à l'aide de l'algorithme des  $k$ -means, les vecteurs de descripteurs visuels associés aux imagerie figurant dans les documents de la collection. Les centres des classes sont retenus comme mots du vocabulaire visuel. On peut remarquer que cette étape est assimilable à la constitution de l'index sur la partie textuelle. Sur la partie visuelle, elle permet de passer de paramètres visuels de bas niveau (couleur, texture) à un niveau de représentation plus général sous forme de mots visuels, caractéristiques par exemple d'une texture ou d'une couleur, mais qui n'ont pas encore un pouvoir d'expression comparable à celui du vocabulaire textuel.

Pour représenter une image, associée à un document ou à une requête, il suffit de la découper en  $16 \times 16$  imagerie, de décrire ces imagerie à l'aide du descripteur SIFT et d'associer chacune au mot visuel de  $V$  le plus proche en terme de distance euclidienne. Ainsi, de même qu'il est possible de dénombrer le nombre d'occurrences  $t_{i,j}$  d'un mot textuel  $t_j$  dans un document  $d_i$ , il est possible de dénombrer le nombre d'occurrence  $v_{i,j}$  d'un mot visuel  $v_j$  : il s'agira du nombre d'imagerie de l'image affectées à la classe ayant le mot visuel  $v_j$  comme centre. Ainsi, comme dans le modèle textuel, une image est représentée à l'aide d'un vecteur de poids calculés à l'aide des formules  $tf.idf$  en remplaçant  $t_{i,j}$  par  $v_{i,j}$  et  $t_j$  par  $v_j$ .

De même que pour la partie textuelle, il est possible de calculer un score de pertinence  $score_V(q_k, d_i)$  d'un document  $d_i$  pour une requête image donnée  $q_k$  en considérant les termes visuels  $v_j$  figurant dans cette requête et dans les images du document par :

$$score_V(q_k, d_i) = \sum_{v_j \in q_k} tf_{i,j}idf_j * tf_{k,j}idf_j$$

#### 2.4. Combinaison des informations textuelles et visuelles

Le score global d'un document  $d_i$  pour une requête donnée  $q_k$  est calculé simplement en combinant linéairement les scores obtenus respectivement sur les modalités visuelles et textuelles :

$$score(q_k, d_i) = \alpha \times score_V(q_k, d_i) + (1 - \alpha) \times score_T(q_k, d_i)$$

où  $\alpha$  est un paramètre permettant d'accorder plus ou moins d'importance à l'information visuelle par rapport à l'information textuelle.

### 3. Expérimentations

Afin d'évaluer notre modèle de représentation de documents multimédia, nous avons effectué plusieurs expérimentations sur la collection ImageCLEF (Tsirikika *et al.*, 2008 ; Tsirikika *et al.*, 2009). Le but est d'évaluer l'impact de la prise en compte de l'information visuelle sur les résultats d'un SRI multimodale. Cela nécessite d'étudier l'influence du paramètre de fusion  $\alpha$ . Après une description de la collection et du protocole expérimental, nous analyserons les résultats obtenus.

#### 3.1. Description de la collection

La collection ImageCLEF est une collection multimédia composée de 151 519 documents XML provenant de l'encyclopédie Wikipedia. Les documents sont composés d'une seule image accompagnée d'un texte court. Les images sont de tailles hétérogènes aux formats JPEG et PNG. Elles peuvent correspondre aussi bien à des photos, qu'à des dessins ou des peintures. Le texte court décrit généralement l'image, mais peut également contenir des informations relatives à l'utilisateur qui a fourni l'image ou sur les droits d'utilisation de cette dernière. Les principales caractéristiques de la collection qui a été utilisée dans le cadre de la compétition ImageCLEF 2008 et 2009 (Tsirikika *et al.*, 2008 ; Tsirikika *et al.*, 2009) sont présentées dans la table 1.

**Tableau 1.** Collection ImageCLEF 2008 et 2009

	2008	2009
Nombre de documents	151 519	
Nombre moyen de mots textuels par document	33	
Nombre de requêtes	75	45
Nombre moyen d'images par requête	1,97	1,84
Nombre moyen de mots textuels par requête	2,64	2,93

Chaque année un ensemble différent de requêtes a été fourni :

– Le premier correspond aux 75 requêtes fournies par la compétition ImageCLEF 2008. Toutes les requêtes 2008 possèdent une partie textuelle composée de quelques mots, mais ne possèdent pas forcément de partie visuelle. Pour chaque requête les 2 premières images pertinentes retournées par une interrogation sur la base de la modalité texte ont été utilisées pour définir la partie visuelle. Ceci correspondrait à un retour de pertinence utilisateur. Ce jeu de requête sera utilisé comme un échantillon d'apprentissage pour calculer les paramètres de notre modèle.

– Le deuxième ensemble est composé des 45 requêtes de la compétition ImageCLEF 2009. Chaque requête 2009 est composée d'une partie textuelle et d'une partie visuelle sous la forme d'environ 2 images par requête.

### 3.2. Mesures d'évaluation

Nous avons utilisé plusieurs mesures classiques ( $MAP$ ,  $P10$ ,  $iP[0, 1]$ ) pour évaluer les performances de notre SRI multimodale. Soient  $Q = \{q_1, \dots, q_k, \dots, q_{|Q|}\}$  l'ensemble des requêtes d'une collection et  $D_k = \{d_{k,1}, \dots, d_{k,i}, \dots, d_{k,|D_k|}\}$  l'ensemble des documents pertinents pour une requête  $q_k$ . La liste des  $N_k$  documents retrouvés par le système pour la requête  $q_k$  est une liste triée par score de pertinence. Pour la compétition ImageCLEF,  $N_k$  est limité à 1000 documents. Le rang  $r$  correspondra au  $r^e$  document retrouvé par le système parmi les  $N_k$  documents.

La précision  $P_k(N)$  correspond à la proportion de documents pertinents pour la requête  $q_k$  parmi les  $N$  premiers documents retrouvés triés par score de pertinence. Le rappel  $R_k(N)$  correspond à la proportion de documents pertinents retrouvés pour la requête  $q_k$  sur le nombre de documents pertinents à retrouver.

$$P_k(N) = \frac{\sum_{r=1}^N \text{rel}_k(r)}{N} \quad R_k(N) = \frac{\sum_{r=1}^N \text{rel}_k(r)}{|D_k|}$$

où  $\text{rel}_k(r)$  est une fonction binaire de pertinence qui vaut 1 si le document au rang  $r$  est pertinent pour la requête  $q_k$ , 0 sinon.

La précision moyenne  $AP_k$  est calculée par :

$$AP_k = \frac{\sum_{r=1}^{N_k} (P_k(r) \times \text{rel}_k(r))}{|D_k|}$$

Pour évaluer les performances de notre modèle, nous utilisons 3 mesures d'évaluation. La première ( $MAP$  : Mean Average Precision) correspond à la moyenne sur l'ensemble des requêtes de la précision moyenne  $AP_k$ . La seconde ( $P10$ ) correspond à la précision pour 10 documents retournés. La dernière ( $iP[0, 1]$ ) correspond à la précision au rappel de point 0,1.

$$MAP = \frac{\sum_{k=1}^{|Q|} AP_k}{|Q|} \quad P10 = \frac{\sum_{k=1}^{|Q|} P_k(10)}{|Q|} \quad iP[0, 1] = \frac{\sum_{k=1}^{|Q|} iP_k[0,1]}{|Q|}$$

Avec :

$$iP_k[0, 1] = \begin{cases} \max_{1 \leq r \leq N_k} (P_k(r) | R_k(r) \geq 0, 1) & \text{si } 0, 1 \leq R_k(N_k) \\ 0 & \text{sinon} \end{cases}$$

### 3.3. Protocole expérimental

Afin d'évaluer l'impact de la prise en compte de l'information visuelle sur une tâche de recherche d'information, et par conséquent, étudier l'influence du paramètre  $\alpha$ , plusieurs expérimentations ont été effectuées.

#### 3.3.1. Apprentissage du paramètre $\alpha$

Dans un premier temps, les requêtes de la collection 2008 ont été utilisées comme une base d'apprentissage afin de calculer  $\alpha_g^{2008}$  (resp.  $\alpha_g^{2009}$ ), la valeur de  $\alpha$  qui optimise globalement la qualité des résultats sur ImageCLEF 2008 (resp. ImageCLEF 2009). La mesure d'évaluation considérée est le *MAP*, qui est la mesure principale de la compétition ImageCLEF. Le paramètre  $\alpha_g^{2008}$  a ensuite été utilisé pour paramétrer le système et traiter toutes les requêtes de la collection 2009 dans le cadre de la compétition ImageCLEF 2009. Une des premières questions à laquelle les expérimentations doivent permettre de répondre concerne la possibilité d'apprendre efficacement le paramètre du modèle sur un ensemble de requêtes pour traiter d'autres requêtes. En d'autres termes : est-ce qu'il est possible d'approcher la valeur optimale  $\alpha_g^{2009}$  par apprentissage sur 2008. Une comparaison de  $\alpha_g^{2008}$  par rapport à  $\alpha_g^{2009}$  permettra de conclure sur la pertinence d'un tel apprentissage.

#### 3.3.2. Stabilité du paramètre $\alpha_g$ par rapport à la mesure d'évaluation

Le deuxième objectif de nos expérimentations est de vérifier si l'importance de l'information visuelle par rapport à l'information textuelle reste la même selon que l'on privilégie une recherche exhaustive retournant un nombre important de résultats, pas nécessairement tous pertinents, ou au contraire une recherche précise renvoyant moins de résultats, mais avec moins d'erreurs. Pour ce faire, nous nous proposons d'étudier la variation des valeurs de  $\alpha_g$  en fonction de différents critères d'évaluation à savoir les mesures *P10* et *iP*[0, 1], qui mettent l'accent sur la précision d'une part, et la mesure *MAP* qui donne aussi de l'importance au rappel, d'autre part.

#### 3.3.3. Optimisation du paramètre $\alpha$ par rapport à la requête

Troisièmement, nous avons expérimenté notre modèle en fonction du type de requêtes traitées. En effet, certaines requêtes ont un profil plutôt textuel (par exemple : "people with dogs", "street musician"), et d'autres ont un profil plus visuel (par exemple : "red fruit", "real rainbow"). Il est donc intéressant d'observer le comportement du système requête par requête.

Cette approche, dite locale, vise à calculer  $\alpha_k$ , la valeur de  $\alpha$  optimisée pour une requête  $q_k$ . La valeur moyenne et l'écart-type des différentes valeurs de  $\alpha_k$  nous permettront de conclure sur la variation du paramètre  $\alpha$  en fonction des requêtes, et sur l'intérêt d'explorer des méthodes pour estimer la valeur  $\alpha_k$  optimale pour une nouvelle requête soumise par l'utilisateur.

Ici aussi, il est intéressant d'étudier l'optimisation de  $\alpha$  en fonction de la mesure d'évaluation considérée, et donc de calculer les valeurs de  $\alpha_k$  optimisées selon différentes mesures ( $MAP$ ,  $P10$  et  $iP[0, 1]$ ).

### 3.3.4. Approche globale vs locale

Dans l'approche globale, on étudie, les variations, en fonction de la valeur du paramètre  $\alpha$ , de la mesure  $MAP_\alpha$  (resp.  $P10_\alpha$ ,  $iP[0, 1]_\alpha$ ) afin de l'optimiser. On note  $\alpha_g$  et on appelle valeur optimale globale, la valeur du paramètre qui maximise  $MAP_\alpha$  (resp.  $P10_\alpha$ ,  $iP[0, 1]_\alpha$ ) :

$$\alpha_g = \alpha | MAP_{\alpha_g} = \max\{MAP_\alpha, \alpha \in [0, 1]\}$$

$\alpha_g$  est ensuite utilisé pour toutes les requêtes. Dans le cadre de la compétition Image-CLEF, la valeur  $\alpha_g$  a été calculé sur l'ensemble des requêtes de la collection 2008 et a ensuite été utilisé pour les requêtes de la collection 2009.

Dans l'approche locale, on souhaite optimiser les mesures  $AP_k$ ,  $P_k(10)$  et  $iP_k[0, 1]$  pour chaque requête  $q_k$ . À chaque requête  $q_k$  correspond une valeur  $\alpha_k$  qui optimise la mesure  $AP_k$ . La mesure  $MAP_{\alpha_l}$  correspond à la moyenne des  $AP_k$  optimisée et est calculée par :

$$MAP_{\alpha_l} = \frac{\sum_{k=1}^{|Q|} AP_k | \alpha = \alpha_k}{|Q|}$$

Il est alors possible de calculer la moyenne ( $\mu_{\alpha_l}$ ) et l'écart-type ( $\sigma_{\alpha_l}$ ) des différentes valeurs optimisées de  $\alpha_k$  par requête.

## 3.4. Paramétrage du système

Le paramétrage du système a consisté en l'utilisation des paramètres par défaut du logiciel Lemur (Zhai, 2001). La valeur par défaut du paramètre  $k_1$  de la fonction de pondération BM25 d'un terme dans un document ou une requête est 1. Étant donné que  $|d_k|$  et  $d_{avg}$  ne sont pas définis pour une requête  $q_k$ , pour le calcul de  $tf_{k,j}$ , le paramètre  $b$  est défini à 0. Pour le  $tf_{i,j}$  d'un document  $d_i$  et d'un terme  $t_j$ , ce paramètre  $b$  est fixé à 0,5. Par ailleurs, aucun anti-dictionnaire n'a été utilisé, et une lemmatisation des mots est réalisée à l'aide de l'algorithme de Porter (Porter, 1980).

## 4. Résultats

### 4.1. Apprentissage du paramètre $\alpha$

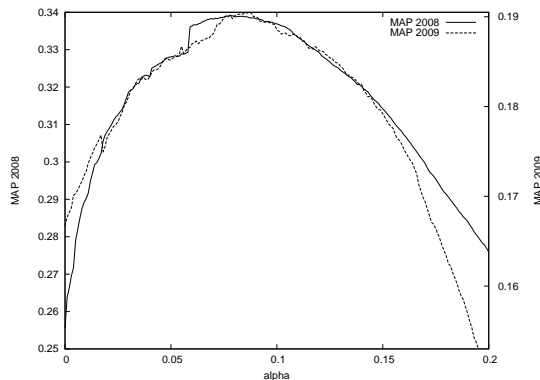
Le  $MAP$  est une mesure globale qui correspond à la moyenne des précisions moyennes obtenues pour chaque requête. Cette mesure est utilisée pour classer les

résultats des participants d'ImageCLEF. La table 2 résume les différents résultats obtenus pour le  $MAP$  en fonction des modalités (texte/image) utilisées et de la méthode d'optimisation.

**Tableau 2.** Résultats sur la collection ImageCLEF 2009 (mesure  $MAP$ )

Run	$MAP$	Gain / texte seul
Texte seul	0,1667	
Visuel seul	0,0085	-94,90%
Texte+visuel ( $\alpha_g^{2008}$ )	0,1903	+14,16%
Texte+visuel ( $\alpha_g^{2009}$ )	0,1905	+14,28%

Selon la mesure  $MAP$ , l'utilisation de la modalité visuelle seule conduit sans surprise, à de mauvais résultats ( $MAP$  de 0,0085) par rapport à ceux obtenus en utilisant seulement le texte ( $MAP$  de 0,1667). Comme le montre la figure 3, augmenter l'importance de la partie visuelle permet d'améliorer significativement les résultats, notamment en prenant une valeur de  $\alpha$  proche de 0,1. Il ne faut pas cependant lui donner trop d'importance, en prenant une valeur de  $\alpha$  supérieure à 0,1, au risque de les dégrader. Notons cependant que les valeurs de  $\alpha$  n'étant pas normalisées, il est difficile de les interpréter directement. Seule l'amélioration mise en évidence par les mesures d'évaluation permet de juger l'apport de l'information visuelle.

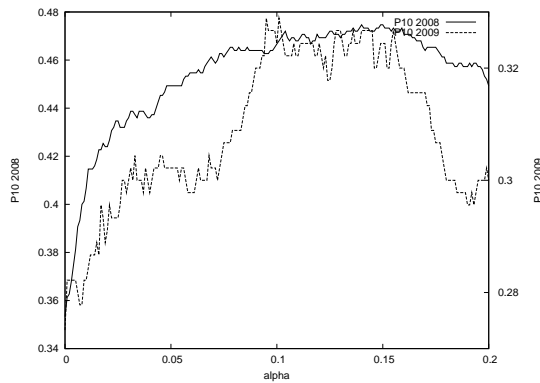


**Figure 3.** Variation de la mesure  $MAP$  en fonction du paramètre  $\alpha$  pour 2008 et 2009.

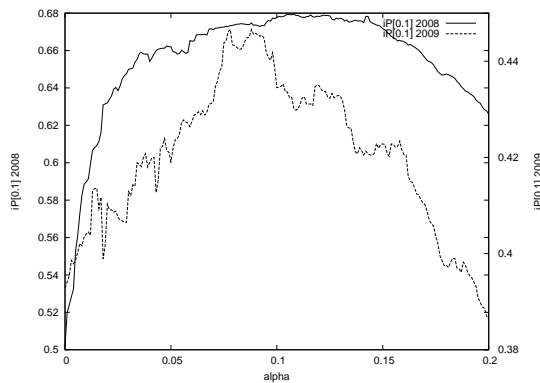
Le paramètre  $\alpha_g^{2008}$  calculé sur la collection d'apprentissage 2008 a amélioré les résultats obtenus avec le texte seul sur 2009 de 14,16% ( $MAP$  de 0,1903), ce qui est très satisfaisant en comparaison avec les résultats optimaux ( $MAP$  de 0,1905), obtenus avec une valeur  $\alpha_g^{2009}$  optimisée sur la collection de test 2009 elle-même. Les courbes similaires du  $MAP$  en fonction de  $\alpha$  et les valeurs de  $\alpha_g^{2008} = 0,084$  et  $\alpha_g^{2009} = 0,085$  montrent pour la mesure  $MAP$  une bonne robustesse du paramètre  $\alpha_g$  au changement de collection. L'apprentissage de  $\alpha_g$  est donc envisageable.

#### 4.2. Stabilité du paramètre $\alpha_g$ par rapport à la mesure d'évaluation

Pour des mesures d'évaluation plus spécifiques comme les mesures orientées précision  $P10$  et  $iP[0, 1]$ , le paramètre  $\alpha$  semble moins stable que pour la mesure  $MAP$ , surtout sur la collection 2009, comme le montrent les figures 4 et 5 (rappelons que  $P10$  et  $iP[0, 1]$  sont des moyennes, alors que  $MAP$  est une moyenne de moyenne).



**Figure 4.** Variation de la mesure  $P10$  en fonction du paramètre  $\alpha$  pour 2008 et 2009.



**Figure 5.** Variation de la mesure  $iP[0, 1]$  en fonction du paramètre  $\alpha$  pour 2008 et 2009.

Pour ces deux mesures, la valeur du paramètre  $\alpha$  apprise sur 2008 ( $P10 : \alpha_g^{2008} = 0,140 ; iP[0, 1] : \alpha_g^{2008} = 0,108$ ) diffère du paramètre  $\alpha$  optimal pour 2009 ( $P10 : \alpha_g^{2009} = 0,095 ; iP[0, 1] : \alpha_g^{2009} = 0,078$ ).

Néanmoins, la pondération de l'information visuelle par le biais du paramètre  $\alpha_g^{2008}$ , même relativement différent de la valeur optimale  $\alpha_g^{2009}$ , permet tout de même d'améliorer significativement les résultats pour la mesure  $P10$  comme pour la mesure

$iP[0, 1]$ , comme le montrent les tables 3 et 4. En effet, pour la mesure  $P10$ , on observe une amélioration de 19,54% et pour la mesure  $iP[0, 1]$  une augmentation de 9,49%.

**Tableau 3.** Résultats sur la collection ImageCLEF 2009 (mesure  $P10$ )

Run	$P10$	Gain / texte seul
Texte seul	0,2733	
Visuel seul	0,0178	-93,49%
Texte+visuel ( $\alpha_g^{2008}$ )	0,3267	+19,54%
Texte+visuel ( $\alpha_g^{2009}$ )	0,3289	+20,34%

**Tableau 4.** Résultats sur la collection ImageCLEF 2009 (mesure  $iP[0, 1]$ )

Run	$iP[0, 1]$	Gain / texte seul
Texte seul	0,3929	
Visuel seul	0,0160	-95,93%
Texte+visuel ( $\alpha_g^{2008}$ )	0,4302	+9,49%
Texte+visuel ( $\alpha_g^{2009}$ )	0,4466	+13,67%

#### 4.3. Approche globale vs locale : optimisation de $\alpha$ par rapport à la requête

L'utilisation d'un paramètre  $\alpha_k$  spécifique pour chaque requête  $q_k$  est une approche plus difficile à mettre en place que l'approche globale, car elle nécessite de déterminer a priori la valeur de  $\alpha_k$  pour chaque nouvelle requête; ce qui reste un problème ouvert.

Toutefois, dans l'hypothèse où ce verrou serait levé, elle offre une marge de progression très importante avec une amélioration potentielle de 29,99% (resp. 52,87%, 39,14%) pour la mesure  $MAP$  (resp.  $P10$ ,  $iP[0, 1]$ ), comme le montre la table 5. Mais la mise en place de cette approche locale paraît d'autant plus difficile qu'il existe une forte disparité des valeurs de  $\alpha_k$  en fonction des requêtes comme l'indique l'écart-type  $\sigma_{\alpha_l}$  observé pour les 3 mesures d'évaluation.

## 5. Conclusion

Dans cet article nous avons présenté un modèle de recherche d'information multimodale qui combine linéairement l'information textuelle et visuelle des documents multimédia. Ces informations sont représentées sous forme de vecteurs grâce à l'utilisation d'une approche sac de mots. Leur combinaison est basée sur un paramètre  $\alpha$  qui permet de pondérer l'importance accordée au contenu visuel des documents par rapport au contenu textuel.

**Tableau 5.**  $\sigma_{\alpha_l}$  : optimisation de  $\alpha_k$  pour chaque requête

	Run		Gain / texte seul	$\mu_{\alpha_l}$	$\sigma_{\alpha_l}$
<i>MAP</i>	Texte seul	0,1667		0,080	0,063
	Texte+visuel ( $\alpha_l$ )	0,2167	+29,99%		
<i>P10</i>	Texte seul	0,2733		0,055	0,058
	Texte+visuel ( $\alpha_l$ )	0,4178	+52,87%		
<i>iP</i> [0, 1]	Texte seul	0,3929		0,083	0,072
	Texte+visuel ( $\alpha_l$ )	0,5467	+39,14%		

Nos expérimentations montrent qu'il est possible d'apprendre avec succès une valeur  $\alpha_g^{2008}$  de ce paramètre, à l'aide d'une collection d'apprentissage ImageCLEF 2008. La valeur apprise diffère dans certains cas de la valeur optimale  $\alpha_g^{2009}$  (quand les mesures *P10* et *iP*[0, 1] sont considérées), mais elle permet dans tous les cas d'améliorer significativement les résultats selon *MAP*, *P10* et *iP*[0, 1].

L'utilisation d'un paramètre  $\alpha_k$  spécifique pour chaque requête semble être une perspective intéressante qui permettrait d'améliorer encore les résultats. Pour apprendre ce paramètre, une première approche consisterait à différencier les requêtes en 3 catégories : visuelles, textuelles et neutres. L'utilisation de la longueur des requêtes textuelles peut-être envisagée car elle semble être corrélée avec la particularité des requêtes (Tsikrika *et al.*, 2009). Une autre idée serait d'analyser les mots visuels des images extraites des premiers résultats textuels en faisant l'hypothèse qu'ils sont représentatifs de la requête et que de ce fait, ils sont porteurs d'information. La distribution de ces mots visuels permettrait d'évaluer un  $\alpha_k$  spécifique à la requête.

Par ailleurs, la fusion que nous utilisons est une combinaison linéaire plutôt simple qui reste à améliorer, même si elle donne déjà de bons résultats. D'autres méthodes de fusion sont donc à considérer comme les fusions précoces qui combinent l'information avant le calcul des résultats sur les modalités séparées ou d'autres fusions non-linéaires, ou basées sur le rang plutôt que sur le score des documents.

## 6. Bibliographie

- Barnard K., Duygulu P., Forsyth D., de Freitas N., Blei D. M., Jordan M. I., « Matching words and pictures », *The Journal of Machine Learning Research*, vol. 3, p. 1107-1135, 2003.
- Cox I. J., Miller M. L., Minka T. P., Papathomas T. V., Yianilos P. N., « The Bayesian image retrieval system, PicHunter : theory, implementation, and psychophysical experiments », *Image Processing, IEEE Transactions on Image Processing*, vol. 9, n° 1, p. 20-37, 2000.
- Csurka G., Dance C., Fan L., Willamowski J., Bray C., « Visual categorization with bags of key-points », *ECCV'04 workshop on Statistical Learning in Computer Vision*, p. 59-74, 2004.
- Datta R., Joshi D., Li J., Wang J. Z., « Image retrieval : Ideas, influences, and trends of the new age », *ACM Computing Surveys*, 2008.

- Flickner M., Sawhney H. S., Ashley J., Huang Q., Dom B., Gorkani M., Hafner J., Lee D., Petkovic D., Steele D., Yanker P., « Query by Image and Video Content : The QBIC System », *IEEE Computer*, vol. 28, n° 9, p. 23-32, 1995.
- La Cascia M., Sethi S., Sclaroff S., « Combining textual and visual cues for content-based image retrieval on the world wide web », *CBAIVL '98 : Proceedings of the IEEE Workshop on Content - Based Access of Image and Video Libraries*, IEEE Computer Society, p. 24, 1998.
- Lew M. S., Sebe N., Djeraba C., Jain R., « Content-based multimedia information retrieval : State of the art and challenges », *ACM Transactions on Multimedia Computing, Communications, and Applications*, vol. 2, n° 1, p. 1-19, 2006.
- Lowe D., « Distinctive image features from scale-invariant keypoints », *International Journal of Computer Vision*, vol. 60, n° 2, p. 91-110, 2004.
- Moulin C., Barat C., Géry M., Ducottet C., Largeton C., « UJM at ImageCLEFwiki 2008 », *CLEF, Evaluating Systems for Multilingual and Multimodal Information Access, 9th Workshop of the Cross-Language Evaluation Forum, CLEF 2008*, vol. 5706 of *Lecture Notes in Computer Science*, Springer, p. 779-786, 2008.
- Porter M. F., « An algorithm for suffix stripping », *Program*, vol. 14, n° 3, p. 130-137, 1980.
- Robertson S. E., Walker S., Hancock-Beaulieu M., Gull A., Lau M., « Okapi at TREC-3 », *Text REtrieval Conference*, p. 21-30, 1994.
- Sciaroff S., Taycher L., La Cascia M., « ImageRover : A Content-Based Image Browser for the World Wide Web », *Proceedings. IEEE Workshop on Content-Based Access of Image and Video Libraries*, p. 2, 1997.
- Smeulders A. W. M., Worring M., Santini S., Gupta A., Jain R., « Content-Based Image Retrieval at the End of the Early Years », *IEEE Transactions on Pattern Analysis and Machine Intelligence*, vol. 22, n° 12, p. 1349-1380, 2000.
- Snoek C. G. M., Worring M., Gemert J. C. V., mark Geusebroek J., Smeulders A. W. M., « The challenge problem for automated detection of 101 semantic concepts in multimedia », in *Proceedings of the ACM International Conference on Multimedia*, p. 421-430, 2006.
- Tollari S., Detyniecki M., Marsala C., Fakeri-Tabrizi A., Amini M.-R., Gallinari P., « Exploiting Visual Concepts to Improve Text-Based Image Retrieval », in *Proceedings of European Conference on Information Retrieval (ECIR)*, 2009.
- Tollari S., Glotin H., « Web Image Retrieval on ImageEval : Evidences on visualness and textualness concept dependency in fusion model », in *Proceedings of the ACM International Conference on Image and Video Retrieval (ACM CIVR)*, 2007.
- Tsikrika T., Kludas J., « Overview of the wikipediaMM task at ImageCLEF 2008 », in , C. Peters, , D. Giampiccol, , N. Ferro, , V. Petras, , J. Gonzalo, , A. Peñas, , T. Deselaers, , T. Mandl, , G. Jones, , M. Kurimo (eds), *Evaluating Systems for Multilingual and Multimodal Information Access – 9th Workshop of the Cross-Language Evaluation Forum*, Lecture Notes in Computer Science, Aarhus, Denmark, sep, 2008.
- Tsikrika T., Kludas J., Overview of the wikipediaMM task at ImageCLEF 2009, Technical report, 10th Workshop of the Cross-Language Evaluation Forum, 2009.
- Zhai C., Notes on the Lemur TFIDF model, Technical report, Carnegie Mellon University, 2001.